

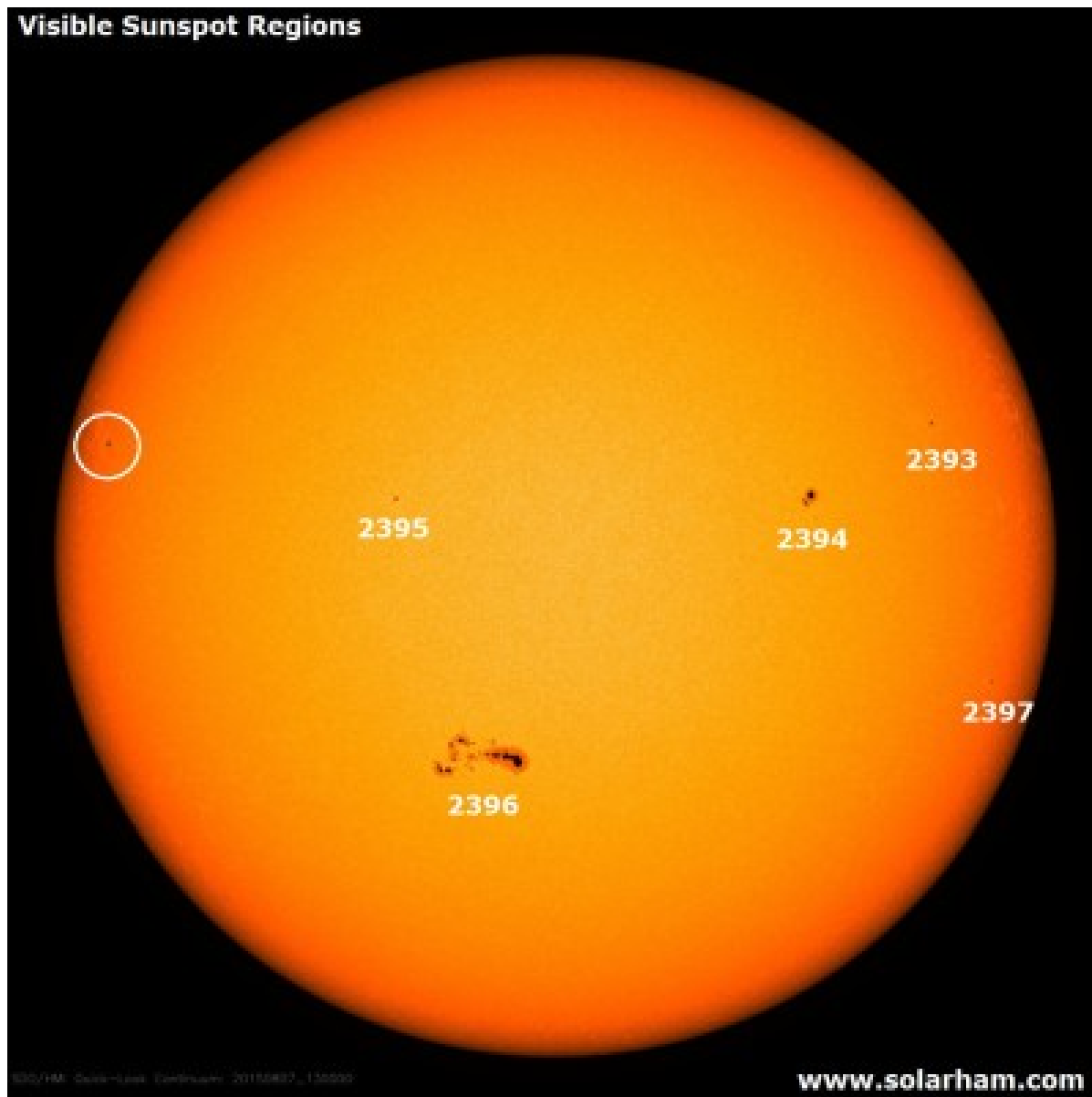
[NOWCASTING SOLARE 07 AGOSTO 2015](#)

L'attività solare nella giornata del 07 Agosto è risultata a livelli bassi. La Regione 2396 (S18E08, EKC/beta-gamma) ha prodotto un brillamento di classe C4 07/0357 UTC, la più grande delle ultime 24 ore. La regione ha continuato la sua fase di crescita nei punti intermedi. Tutte le altre regioni sul disco solare sono stabili o in decadimento. Nessuna espulsione di massa coronale (CME) è stata osservata dal [LASCO C2](#).

Forecast: L'[attività solare](#) dovrebbe restare bassa, con piccole possibilità di brillamenti di classe M con abbinate possibili tempeste geomagnetiche classificate R1 minor nel corso dei prossimi 3 giorni (8-10 agosto).

Alle ore 18.00 UTC, il disco solare visibile da terra presentava 5 regioni attive (in risoluzione 2K da immagini SDO/HMI Continuum) e una in formazione:

Visible Sunspot Regions



Num count	Lat., class			CMD		Long.	Area	Extent	class
2393	N18W46	100	20	1	HAX	1	A		
2394	N11W25	79	100	4	CA0	7	B		
2395	N12E25	29	20	1	HAX	1	A		
2396	S17E15	39	550	11	EKC	20	BG		
2397	S11W54	105	10	1	HAX	1	A		

Ne consegue che:

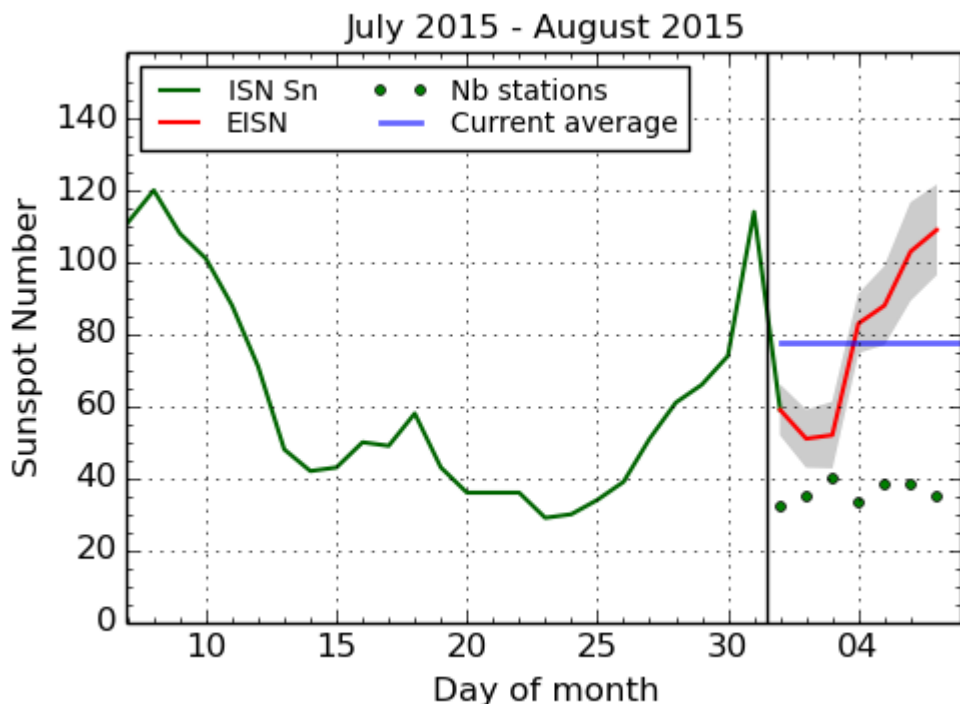
Il campo geomagnetico solare nel corso delle ultime 24 ore è risultato in stato "STORM" mentre i Raggi X in stato "ACTIVE"

La velocità del flusso solare (2,8 GHz) alle ore 20,00 del 07 agosto è risultato a 122.1

La media mensile del flusso solare ad oggi risulta a 110.3

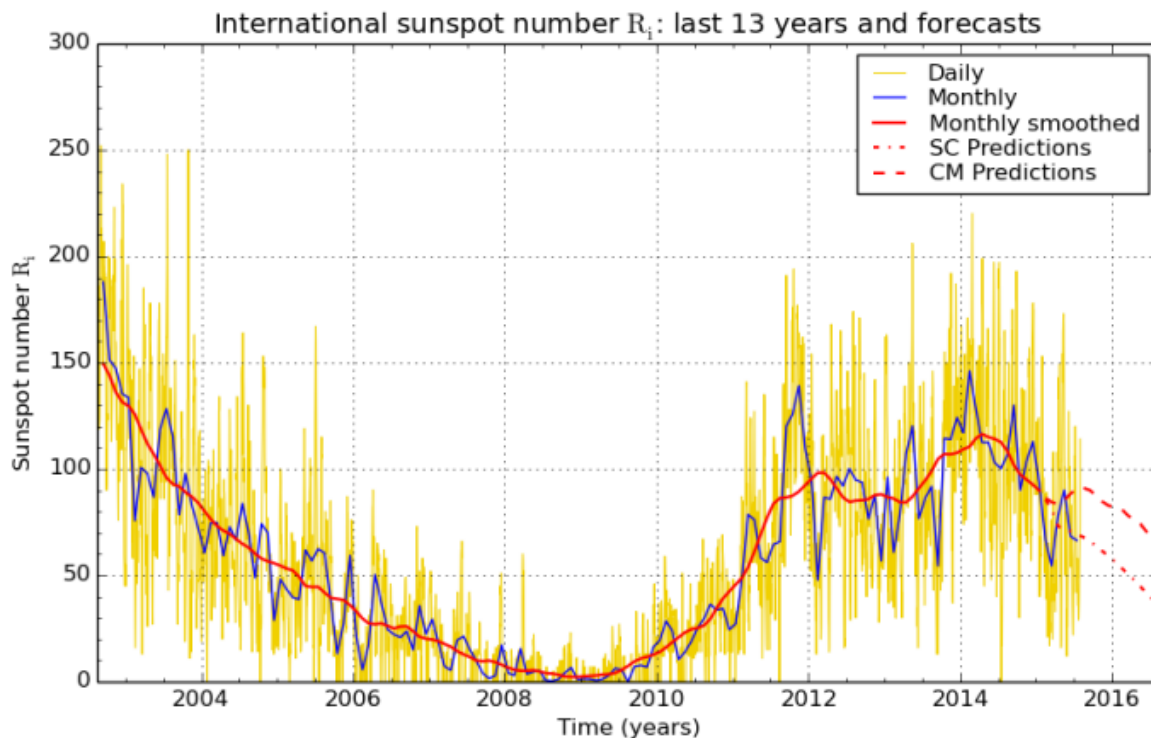
Il conteggio delle macchie solari (conteggio SILSO) del 07 agosto è risultato di 109 macchie.

La media mensile delle macchie solari ad oggi risulta a 79.2 punti.



SILSO graphics (<http://sidc.be/silso>) Royal Observatory of Belgium, 2015 August 7

L'andamento delle macchie solari nell'ultimo mese del centro di conteggio SILSO



SILSO graphics (<http://sidc.be/silso>) Royal Observatory of Belgium 2015 August 1

Andamento dell'attività solare negli ultimi 13 anni dal grafico del centro di

conteggio SILSO

La media mensile dell'indice Ap è risultata nella giornata di ieri di 7.0

La velocità del vento solare attuale è di 525.1 km/s

La densità del vento solare attuale è di 3.7 protons/cm³

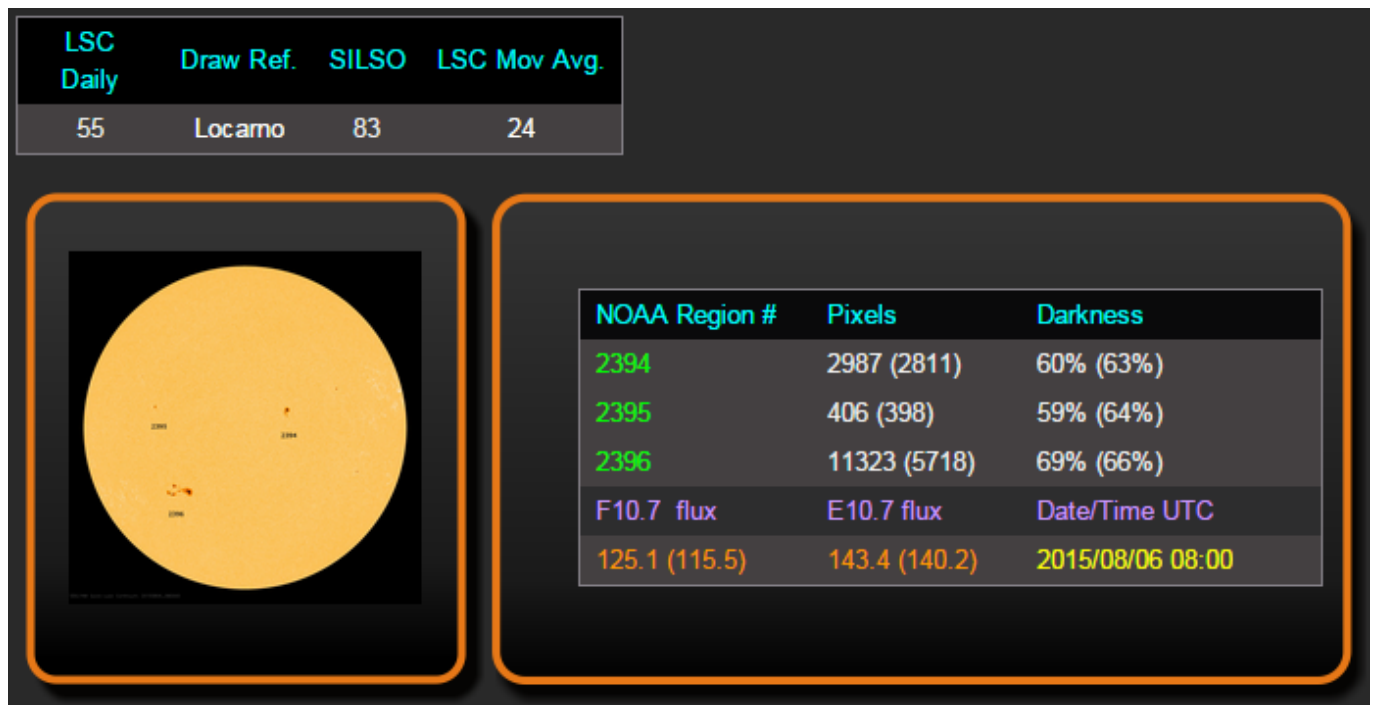
L'indice A attuale è di 21

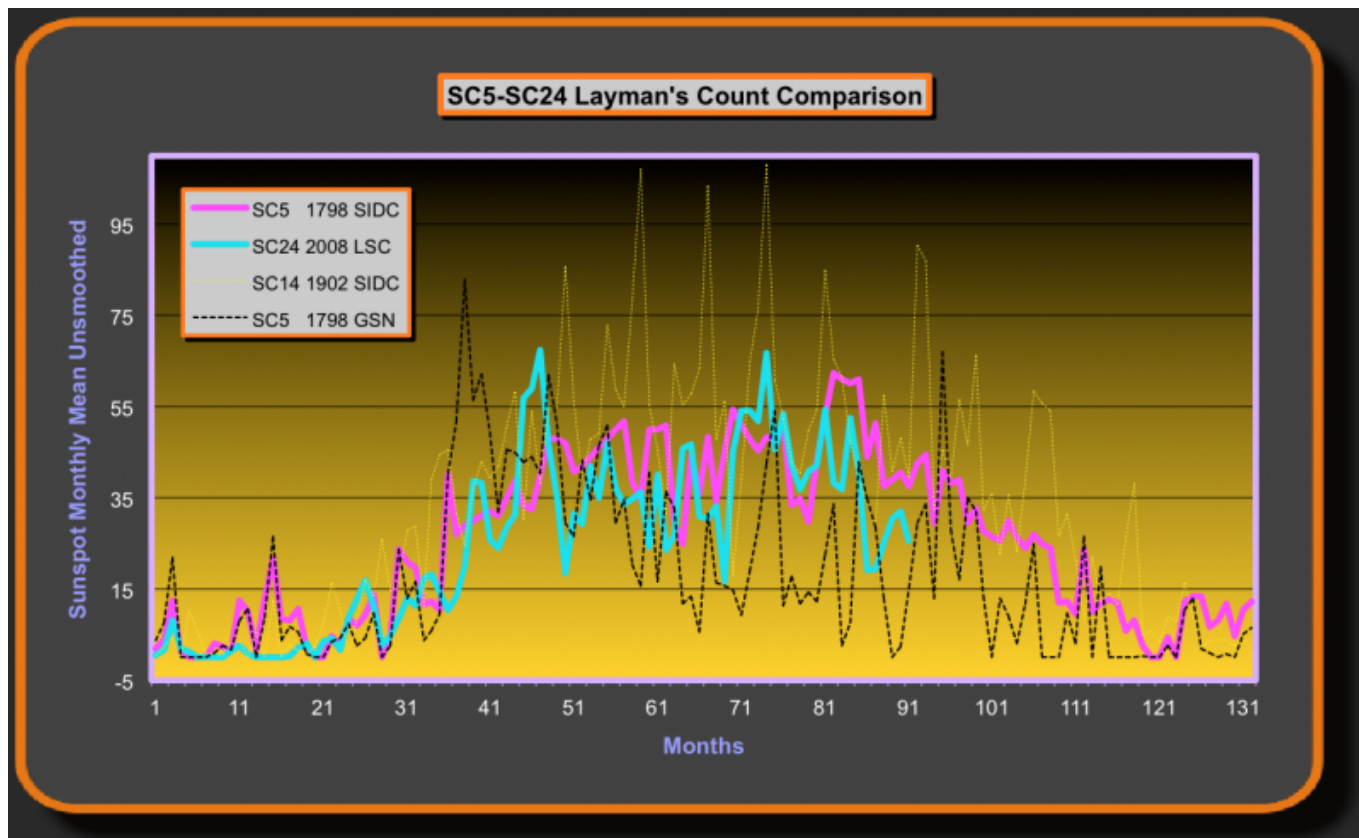
L'indice K attuale è di 2 (quiet)

Il flusso dei raggi X attuale risulta di classe B 6.0

La componente [BZ](#) attuale è di 1.5 nT

Il conteggio delle macchie solari con il metodo Layman's sunspot count (gestito da Geoff Sharp), nella giornata del 6 agosto alle ore 08:00 (ultimo aggiornamento disponibile) è risultato di 55 macchie giornaliere che porta la media mensile a 24 macchie giornaliere.





Confronto tra i due cicli, il ciclo 5 (minimo di Dalton colore fucsia) e il ciclo 24 (ciclo attuale colore azzurro) per il metodo di conteggio del Layman's

Aggiornamento del Polar Field del 03 agosto 2015

Come nostra consuetudine, diamo uno sguardo all'ultimo aggiornamento del WSO, Polar Field, sui dati raccolti dal prestigioso osservatorio di Wilcox, Solar Observatory, della Stanford University, sui dati del campo magnetico solare.

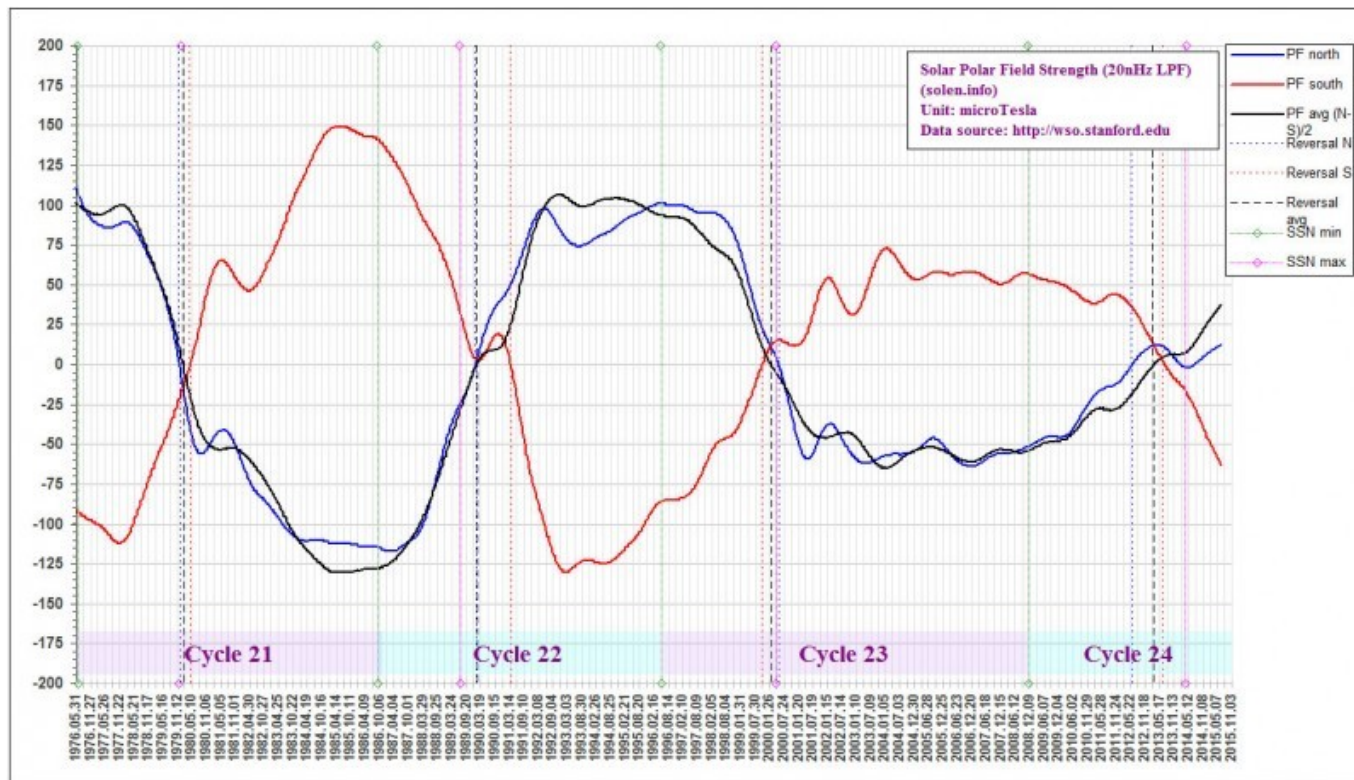
I dati aggiornati al 3 agosto 2015, e che fanno riferimento al 16 luglio 2015, mettono in mostra ancora una volta come l'emisfero nord abbia un'andatura molto rallentata per non dire bloccata, dove l'emisfero nord resta fermo a 13Nf. Avanza ancora una volta l'emisfero sud di 2 punti, portandosi così a -67Sf.

Di conseguenza la media Avgf avanza anch'essa di un punto attestandosi a 40Avgf.

Movimento quest'ultimo molto lento, che se rapportato al ciclo precedente, il 23, ci fa capire di come continui la debolezza del ciclo solare 24. Infatti dal momento dell'inversione magnetica di questo ciclo avvenuta l'8 marzo 2013 (zero) il campo magnetico mediato a oggi risulta a 40 Avgf, praticamente in 28 mesi è avanzato di soli 40 punti. Per farvi capire la differenza e confrontandolo con l'inversione del ciclo 23 avvenuta il 15 febbraio 2000, il valore di 39 Avgf lo si raggiunse il 30 aprile 2011, quindi dopo soltanto 14 mesi. Esattamente la metà dei mesi per percorrere lo stesso cammino del ciclo 24.

2014:11:18_21h:07m:13s	6N	-44S	25Avg	20nhz	filt:	5Nf	-40Sf	23Avgf
2014:11:28_21h:07m:13s	6N	-44S	25Avg	20nhz	filt:	5Nf	-42Sf	23Avgf
2014:12:08_21h:07m:13s	0N	-44S	22Avg	20nhz	filt:	6Nf	-43Sf	24Avgf
2014:12:18_21h:07m:13s	-6N	-40S	17Avg	20nhz	filt:	6Nf	-44Sf	25Avgf
2014:12:28_21h:07m:13s	-4N	-43S	19Avg	20nhz	filt:	7Nf	-45Sf	26Avgf
2015:01:07_21h:07m:13s	3N	-42S	22Avg	20nhz	filt:	7Nf	-47Sf	27Avgf
2015:01:17_21h:07m:13s	9N	-45S	27Avg	20nhz	filt:	7Nf	-48Sf	28Avgf
2015:01:27_21h:07m:13s	18N	-41S	29Avg	20nhz	filt:	8Nf	-49Sf	28Avgf
2015:02:06_21h:07m:13s	10N	-45S	27Avg	20nhz	filt:	8Nf	-50Sf	29Avgf
2015:02:16_21h:07m:13s	8N	-48S	28Avg	20nhz	filt:	9Nf	-51Sf	30Avgf
2015:02:26_21h:07m:13s	8N	-51S	29Avg	20nhz	filt:	9Nf	-52Sf	31Avgf
2015:03:08_21h:07m:13s	17N	-50S	33Avg	20nhz	filt:	9Nf	-53Sf	31Avgf
2015:03:18_21h:07m:13s	27N	-49S	38Avg	20nhz	filt:	10Nf	-54Sf	32Avgf
2015:03:28_21h:07m:13s	24N	-52S	38Avg	20nhz	filt:	10Nf	-56Sf	33Avgf
2015:04:07_21h:07m:13s	15N	-56S	36Avg	20nhz	filt:	10Nf	-57Sf	33Avgf
2015:04:17_21h:07m:13s	11N	-59S	35Avg	20nhz	filt:	11Nf	-58Sf	34Avgf
2015:04:27_21h:07m:13s	13N	-61S	37Avg	20nhz	filt:	11Nf	-59Sf	35Avgf
2015:05:07_21h:07m:13s	16N	-64S	40Avg	20nhz	filt:	11Nf	-60Sf	35Avgf
2015:05:17_21h:07m:13s	15N	-66S	41Avg	20nhz	filt:	11Nf	-61Sf	36Avgf
2015:05:27_21h:07m:13s	12N	-80S	46Avg	20nhz	filt:	12Nf	-62Sf	37Avgf
2015:06:06_21h:07m:13s	6N	-76S	41Avg	20nhz	filt:	12Nf	-63Sf	37Avgf
2015:06:16_21h:07m:13s	5N	-75S	40Avg	20nhz	filt:	12Nf	-64Sf	38Avgf
2015:06:26_21h:07m:13s	5N	-74S	40Avg	20nhz	filt:	12Nf	-65Sf	38Avgf
2015:07:06_21h:07m:13s	10N	-74S	42Avg	20nhz	filt:	13Nf	-66Sf	39Avgf
2015:07:16_21h:07m:13s	13N	-74S	43Avg	20nhz	filt:	13Nf	-67Sf	40Avgf

<http://wso.stanford.edu/Polar.html#latest>



<http://www.solen.info/solar/polarfields/polar.html>

Enzo
 Attività Solare